

**Ю. М. Чумаков, Ю. А. Симонов, Г. Бочелли^a, М. Гданец^b,
С. В. Власюк^b, В. И. Павловский^b**

**МОЛЕКУЛЯРНАЯ И КРИСТАЛЛИЧЕСКАЯ СТРУКТУРА
ПРОИЗВОДНЫХ 1,2-ДИГИДРО-3Н-1,3,4-БЕНЗОТИАЗЕПИНА**

Синтезированы три новых производных 1,2-дигидро-3Н-1,3,4-бензотиазепина: 7-бром-5-фенил-3-фенилкарбамоил-1,2-дигидро-3Н-1,3,4-бензотиазепин-2-он, 7-бром-5-фенил-1,2-дигидро-3Н-1,3,4-бензотиазепин-2-тион и 7-метил-5-фенил-1,2-дигидро-3Н-1,3,4-бензотиазепин-2-он, кристаллические структуры которых определены методом РСА.

Ключевые слова: бензотиазепин, водородные связи, кристаллическая структура, РСА.

Современный подход к поиску биологически активных соединений основывается на знании геометрических и конформационных параметров молекул в кристалле. Последние в дальнейшем используются в расчетных работах и при исследовании связи структура – биологическая активность.

1,4-Бензодиазепины [1] являются классом соединений, давшим медицинской практике такие известные нейротропные препараты как диазепам, нитразепам, оксазепам, лоразепам, феназепам и др. Их гетероаналогами являются 1,3,4-бензотиазепины, по данным работ [2, 3], также обладающие ценными фармакологическими свойствами. Ограниченные литературные данные о структуре 1,3,4-бензотиазепинов в кристаллах затрудняют изучение связи структура–активность для этого класса гетероциклических соединений.

В работе [4, 5] мы отмечали, что 1,2-дигидро-3Н-1,3,4-бензотиазепины находятся в твердом состоянии в конформации *псевдолодка*. Сходную конформацию имеет 7,9-диметил-5-диметиламино-2-фенил-3Н-1,3,4-бензотиазепин [6].

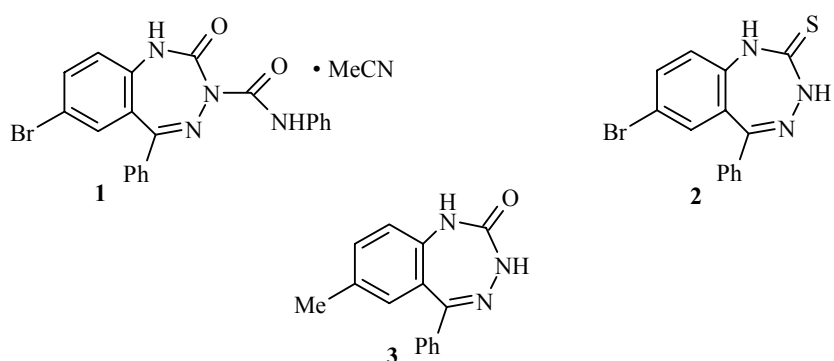
Интересны и важны также данные о кристаллической структуре этих соединений, поскольку системы связей Н и слабых межмолекулярных взаимодействий (галоген–галоген, С–Н...Х, π–π и С–Н...π) в них определяют их растворимость и, как следствие, биодоступность этих соединений.

В работе [7] проанализированы особенности взаимодействия молекулы 1,4-бензодиазепинов в кристалле и показано, что преимущественной является димеризация через амидную группу молекулы. В молекулах 1,2-дигидро-3Н-1,4-бензодиазепин-2-онов, незамещенных в положении 1, имеются одна донорная (в положении 1) и две акцепторные группы (атом

кислорода в положении 2 и атом азота в положении 4). Молекулы 1048

1,2-дигидро-3Н-1,3,4-бензотриазепин-2-онов, незамещенных в положениях 1 и 3, как правило, имеют в своем составе две донорные (положения 1 и 3) и две акцепторные группы. Последние существенно расширяют комбина-торику при организации системы водородных связей в кристалле

Настоящая работа посвящена изучению молекулярной и кристаллической структуры производных 1,2-дигидро-3Н-1,3,4-бензотриазепина 1–3 методом РСА.



На рис. 1 представлены молекулярные структуры соединений **1–3** и нумерация атомов в них. Они имеют обычное для этого класса соединений строение: неплоский семичленный цикл сопряжен с замещенным бензольным фрагментом и имеет фенильный заместитель в положении 5 гетероцикла. Как и в других 1,3,4-бензотриазепинах семичленные циклы имеют конформацию *лодки* с отклонением плоскостей $N_{(1)}C_{(10)}C_{(11)}C_{(5)}$ (A) и $C_{(2)}N_{(3)}N_{(4)}$ (B) от плоскости "дна" – $C_{(2)}N_{(1)}C_{(5)}N_{(4)}$ (C). Степень твистованности последнего фрагмента для соединения **1** составляет 0.034–0.041, для соединения **2** – 0.071–0.077, для соединения **3** – 0.052–0.054 Å.

Диэдральные углы между фрагментами АВ и АС для соединений 1 равны, соответственно, 36.0(3) и 60.4(3) $^{\circ}$, для 2 – 33.7(3) и 44.9(3) $^{\circ}$, для 3 – 31.7 и 45.4 $^{\circ}$. Между ароматическими фрагментами в соединениях 1, 2 и 3 диэдральные углы, соответственно, 58.4, 59.6 и 72.9 $^{\circ}$. Они близки к найденным в работе [4] для 7-бром-5-фенил-1,2-дигидро-3Н-1,3,4-бензотриазепин-2-она (4), где углы АВ и ВС равны 35.6 и 42.8 $^{\circ}$, угол между ароматическими циклами – 63.5 $^{\circ}$.

Отклонение от идеальной симметрии для семичленного цикла описывается параметром ΔC_s [7], который для соединения **4** равен 20.7. Для соединения **1** $\Delta C_s = 11.41$, для соединения **2** – 15.29, для соединения **3** – 15.07. Ранее мы отмечали [2], что переход от 1,2-бензодиазепинов к 1,3,4-бензотриазепинам приводит к большим искажениям в семичленном цикле от C_s -симметрии. Замена во втором положении атома кислорода на атом серы практически не влияет на степень отклонения семичленного цикла от симметрии C_s .

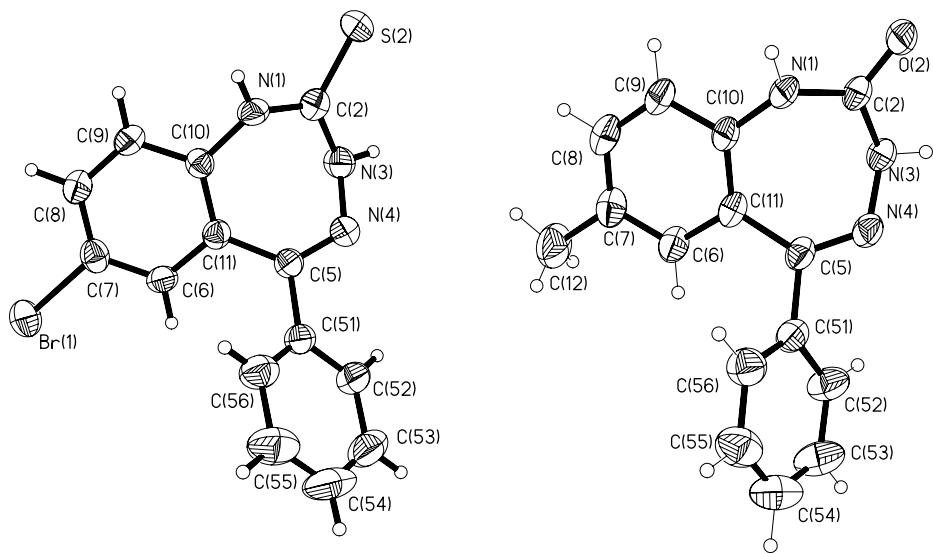
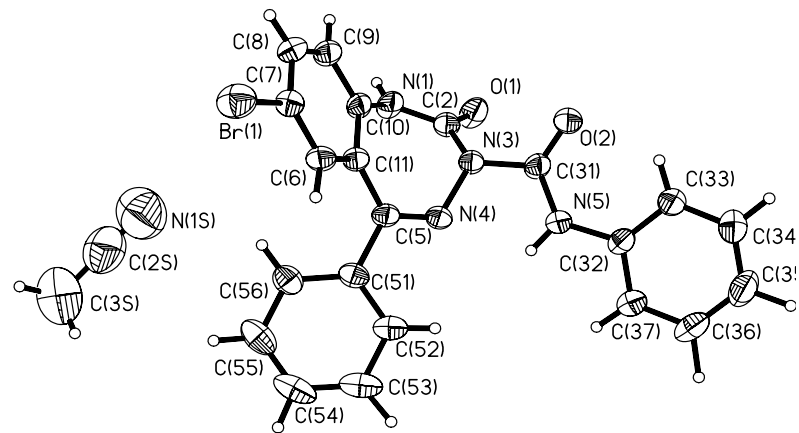


Рис. 1. Строение соединений 1, 2 и 3

Таблица 1

Кристаллографические данные, характеристики эксперимента и параметры уточнения для структур 1–3

	1	2	3
Брутто-формула	C ₂₃ H ₁₈ BrN ₅ O ₂	C ₁₄ H ₁₀ BrN ₃ S	C ₁₅ H ₁₃ N ₃ O
Молекулярная масса	476.33	332.22	251.28
Температура, К	293(2)	293(2)	293(2)
Длина волны, Å	0.71073	0.71073	0.71073
Сингония	Моноклинная	Ромбическая	Ромбическая
Простр. группа	P2 ₁ /c	P2 ₁ 2 ₁ 2 ₁	Pca2 ₁
Параметры элемент. ячейки			
<i>a</i> , Å	6.8540(14)	4.7390(9)	16.392(2)
<i>b</i> , Å	25.404(5)	16.525(3)	11.896(1)
<i>c</i> , Å	12.398(3)	16.982(3)	6.918(1)
β, град	90.33(3)		
<i>V</i> , Å ³	2158.7(8)	1329.9(5)	1349.1(2)
<i>Z</i>	4	4	4
Плотность (расч.), г/м ³	1.466	1.659	1.237
Коэф. поглощения, mm^{-1}	1.934	3.236	0.081
<i>F</i> (000)	968	664	528
Размеры кристалла, мм	0.2 × 0.3 × 0.4	0.25 × 0.35 × 0.4	0.25 × 0.35 × 0.3
Диапазон для собранных данных (θ°)	1.60–30.72	1.72–30.48	3.43–25.03
Диапазон индексов собранных данных	-9≤=h≤=9, -36≤=k≤=35, -17≤=l≤=17	-6≤=h≤=6, -23≤=k≤=22, -14≤=l≤=23	-15≤=h≤=19, -13≤=k≤=14, -7≤=l≤=8
Число измеренных рефлексов	30891	10764	6728
Число независимых рефлексов	6176 [R(int) = 0.043]	10341 / 3670 [R(int) = 0.046]	2082 [R(int)=0.066]
Отношение числа рефлексов к числу параметров	6176/341	3670/2	2082 / 181
Добротность уточнения по <i>F</i> ²	1.037	0.899	0.997
Заключительный <i>R</i> -фактор [<i>I</i> >2σ(<i>I</i>)]	<i>R</i> 1 = 0.0476, w <i>R</i> 2 = 0.1175	<i>R</i> 1 = 0.0397, w <i>R</i> 2 = 0.0847	<i>R</i> 1 = 0.0570, w <i>R</i> 2 = 0.1385
<i>R</i> -фактор (по всему массиву)	<i>R</i> 1 = 0.086, w <i>R</i> 2 = 0.126	<i>R</i> 1 = 0.0823, w <i>R</i> 2 = 0.0938	<i>R</i> 1 = 0.0825, w <i>R</i> 2 = 0.1567
Остаточные пики на разностном синтезе, e·Å ⁻³	0.408 и -0.500	0.332 и -0.241	0.141 и -0.168

Т а б л и ц а 2

Межатомные расстояния (*d*) в структурах 1–3

Связь	<i>d</i> , Å		
	1	2	3
N ₍₁₎ —C ₍₂₎	1.355(4)	1.348(5)	1.335(5)
N ₍₁₎ —C ₍₁₀₎	1.407(4)	1.415(5)	1.407(5)
N ₍₃₎ —C ₍₂₎	1.423(3)	1.357(5)	1.378(5)
N ₍₃₎ —N ₍₄₎	1.440(3)	1.416(5)	1.417(4)
N ₍₄₎ —C ₍₅₎	1.292(3)	1.271(5)	1.282(4)
C ₍₅₎ —C ₍₁₁₎	1.472(4)	1.479(5)	1.476(5)
C ₍₅₎ —C ₍₅₁₎	1.496(4)	1.494(5)	1.485(5)
C ₍₆₎ —C ₍₇₎	1.383(4)	1.375(5)	1.388(6)
C ₍₆₎ —C ₍₁₁₎	1.403(4)	1.401(5)	1.413(5)
C ₍₇₎ —C ₍₈₎	1.390(4)	1.376(6)	1.379(6)
C ₍₈₎ —C ₍₉₎	1.372(5)	1.374(6)	1.368(5)
C ₍₉₎ —C ₍₁₀₎	1.394(4)	1.395(6)	1.394(5)
C ₍₁₀₎ —C ₍₁₁₎	1.404(3)	1.394(5)	1.392(5)
C ₍₅₁₎ —C ₍₅₂₎	1.392(4)	1.400(6)	1.394(6)
C ₍₅₁₎ —C ₍₅₆₎	1.393(4)	1.376(6)	1.378(6)
C ₍₅₂₎ —C ₍₅₃₎	1.401(4)	1.382(7)	1.364(6)
C ₍₅₃₎ —C ₍₅₄₎	1.379(6)	1.371(9)	1.376(8)
C ₍₅₄₎ —C ₍₅₅₎	1.368(6)	1.369(9)	1.376(8)
C ₍₅₅₎ —C ₍₅₆₎	1.397(4)	1.380(7)	1.376(6)

Межатомные расстояния, представленные в табл. 2, характерны для других соединений этого класса. В то же время характер межмолекулярных взаимодействий в соединениях 1–3 существенно различается. В формировании кристаллической структуры всех трех соединений значительную роль играют водородные связи и ван-дер-ваальсовские взаимодействия. Блокирование группы N—H в положении 3 в соединении 1 делает его по донорно-акцепторным свойствам близким к 1,4-бензодиазепинам.

В кристалле молекулы 1 объединяются в димеры двумя N₍₁₀₎—H...O₍₁₎ межмолекулярными связями (рис. 2). Положение заместителя при атоме N₍₃₎ стабилизировано водородными связями N₍₅₎—H...N₍₄₎ = 2.574(3) и C₍₈₎—H...O₍₂₎ = 3.174(4) Å. Параметры водородных связей приведены в табл. 4. Сольватные молекулы ацетонитрила находятся в пустотах упаковки основных молекул и связаны ван-дер-ваальсовыми взаимодействиями.

Молекулы соединения **2** объединены в спираль симметрии 2_1 водородной связью $\text{N}_{(1)}-\text{H}$, а группа $\text{N}_{(3)}-\text{H}$ в формировании водородных связей участие не принимает. Таким образом, атом серы в молекуле **2** участвует в образовании одной водородной связи (рис. 3). В целом, в соединении **2**, молекулы образуют цепочки вдоль двойной винтовой оси.

Таблица 3

Валентные углы (ω) в структурах 1–3

Угол	ω , град		
	1	2	3
$\text{C}_{(2)}-\text{N}_{(1)}-\text{C}_{(10)}$	125.7(2)	126.1(4)	127.0(3)
$\text{C}_{(2)}-\text{N}_{(3)}-\text{N}_{(4)}$	115.2(2)	125.7(3)	123.2(3)
$\text{C}_{(5)}-\text{N}_{(4)}-\text{N}_{(3)}$	115.6(2)	118.7(3)	119.3(3)
$\text{N}_{(1)}-\text{C}_{(2)}-\text{N}_{(3)}$	113.2(2)	117.1(4)	118.5(3)
$\text{N}_{(4)}-\text{C}_{(5)}-\text{C}_{(11)}$	124.8(2)	120.7(3)	127.6(3)
$\text{N}_{(4)}-\text{C}_{(5)}-\text{C}_{(51)}$	115.0(2)	126.5(3)	114.3(3)
$\text{C}_{(11)}-\text{C}_{(5)}-\text{C}_{(51)}$	120.2(2)	119.2(3)	118.1(3)
$\text{C}_{(7)}-\text{C}_{(6)}-\text{C}_{(11)}$	120.6(2)	121.0(4)	121.4(4)
$\text{C}_{(6)}-\text{C}_{(7)}-\text{C}_{(8)}$	120.7(3)	120.8(4)	118.3(4)
$\text{C}_{(9)}-\text{C}_{(8)}-\text{C}_{(7)}$	119.2(3)	119.4(4)	121.9(4)
$\text{C}_{(8)}-\text{C}_{(9)}-\text{C}_{(10)}$	121.2(3)	120.6(4)	120.0(4)
$\text{C}_{(9)}-\text{C}_{(10)}-\text{C}_{(11)}$	120.0(3)	120.4(4)	120.2(3)
$\text{C}_{(9)}-\text{C}_{(10)}-\text{N}_{(1)}$	118.6(2)	121.3(4)	121.4(3)
$\text{C}_{(11)}-\text{C}_{(10)}-\text{N}_{(1)}$	121.4(2)	118.3(4)	118.3(3)
$\text{C}_{(10)}-\text{C}_{(11)}-\text{C}_{(6)}$	123.2(3)	122.2(3)	118.2(3)
$\text{C}_{(10)}-\text{C}_{(11)}-\text{C}_{(5)}$	121.7(2)	117.8(3)	123.2(3)
$\text{C}_{(6)}-\text{C}_{(11)}-\text{C}_{(10)}$	118.3(2)	123.0(4)	118.7(3)
$\text{C}_{(52)}-\text{C}_{(51)}-\text{C}_{(56)}$	119.4(3)	119.1(4)	117.8(4)
$\text{C}_{(52)}-\text{C}_{(51)}-\text{C}_{(5)}$	119.7(3)	119.1(4)	121.7(4)
$\text{C}_{(56)}-\text{C}_{(51)}-\text{C}_{(5)}$	120.9(3)	121.9(4)	120.5(4)
$\text{C}_{(51)}-\text{C}_{(52)}-\text{C}_{(53)}$	120.1(3)	119.0(4)	120.8(5)
$\text{C}_{(54)}-\text{C}_{(53)}-\text{C}_{(52)}$	119.5(3)	119.5(6)	120.8(5)
$\text{C}_{(55)}-\text{C}_{(54)}-\text{C}_{(53)}$	121.0(3)	120.5(6)	119.3(5)
$\text{C}_{(54)}-\text{C}_{(55)}-\text{C}_{(56)}$	120.1(3)	120.1(6)	119.9(5)
$\text{C}_{(51)}-\text{C}_{(56)}-\text{C}_{(55)}$	119.9(3)	120.1(6)	121.4(5)

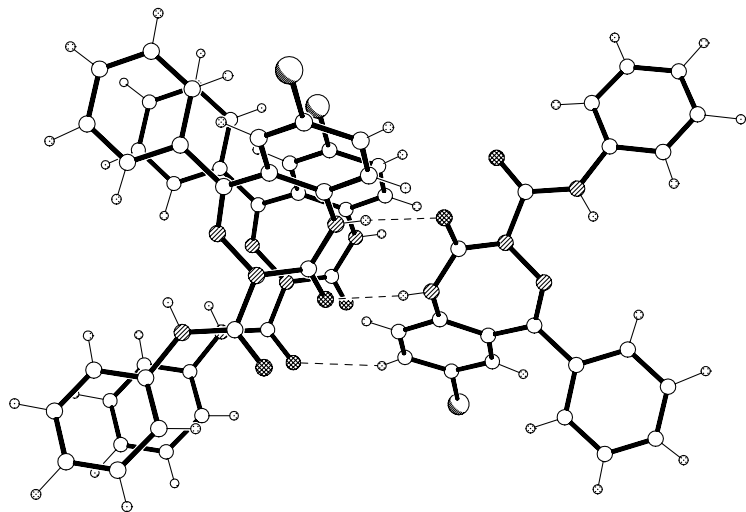


Рис. 2. Фрагмент упаковки соединения 1

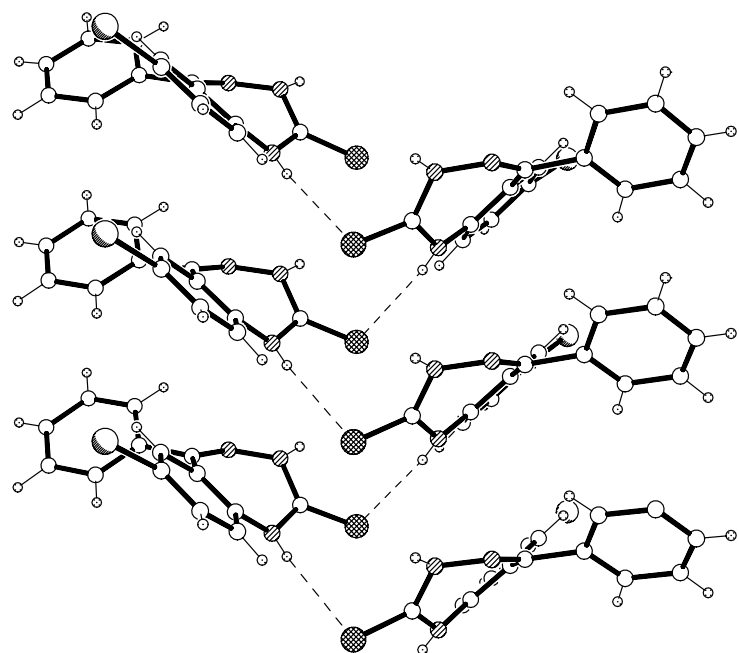


Рис. 3. Фрагмент упаковки соединения 2

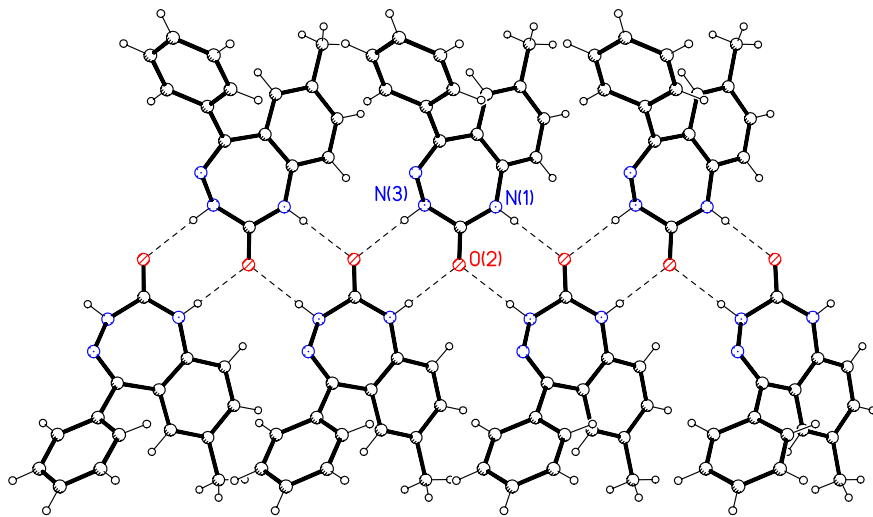


Рис. 4. Фрагмент упаковки соединения 3

Соединение 3 за счет водородных связей N–H...O образует ленту (рис. 4). В формировании ее принимают участие обе группы N–H. В качестве акцептора выступает атом кислорода. Параметры водородных связей представлены в табл. 4. Остальные контакты носят ван-дер-ваальсов характер.

Суммируя данные по межмолекулярным взаимодействиям в соединениях 1–3, можем утверждать, что малые изменения в молекулярной структуре ведут к существенным изменениям кристаллической структуры, что может определять биодоступность соединения.

Таблица 4

Водородные связи для структур 1, 2, 3

Соединение	D	<i>d</i> (H...A)	\angle DHA	<i>d</i> (D...A)	A	Элемент симметрии для A
1	N ₍₅₎	2.12(3)	112(3)	2.574(3)	N ₍₄₎	<i>x, y, z</i>
	N ₍₁₎	2.13(4)	175(3)	2.918(3)	O ₍₁₎	− <i>x</i> +1, − <i>y</i> +1, − <i>z</i> +1
	C ₍₈₎	2.46(4)	135(3)	3.174(4)	O ₍₂₎	− <i>x</i> +2, − <i>y</i> +1, − <i>z</i> +1
2	N ₍₁₎	2.89(3)	171(3)	3.618(4)	S ₍₂₎	<i>x</i> −1/2, − <i>y</i> +3/2, − <i>z</i>
3	N ₍₃₎	2.113	175.32	2.933	O ₍₂₎	− <i>x</i> +1/2, <i>y</i> , <i>z</i> −1/2
	N ₍₁₎	2.088	176.08	2.853	O ₍₂₎	− <i>x</i> +1/2, <i>y</i> , <i>z</i> +1/2

ЭКСПЕРИМЕНТАЛЬНАЯ ЧАСТЬ

Соединения **1–3** синтезировали описанными ранее методами [8–10]. Перекристаллизацию и рост кристалла проводили из раствора ацетонитрила (соединение **1**) и раствора хлороформа (соединения **2** и **3**). Это объясняет сокристаллизацию соединения **1** с молекулой растворителя.

Для рентгенодифракционного эксперимента для соединений **1** и **2** использовали Bruker AXS дифрактометр Smart с CCD детектором (MoK α -излучение, комнатная температура). Поправку на поглощение в интенсивности вводили по программам SHELXTL-NT V5 [11]. Структуры соединений решены прямыми методами и уточнение МНК по программам SHELX-97 [12] в анизотропном приближении для неводородных атомов и изотропном – для атомов водорода. Позиции последних локализованы из разностных синтезов Фурье.

Экспериментальные данные для соединения **3** получены на дифрактометре KUMA CCD с бесформенного обломка кристалла размером $0.25 \times 0.35 \times 0.3$ мм. При пересчете от интенсивности к F^2 поглощение не учитывалось.

Основные параметры экспериментов приведены в табл. 1, межатомные расстояния и валентные углы – в табл. 2 и 3, координаты базисных атомов депонированы в CCDC (№№ 255324–255326).

СПИСОК ЛИТЕРАТУРЫ

1. А. В. Богатский, С. А. Андронати, Н. Я. Головенко, *Транквилизаторы. 1,4-Бенздиазепины и родственные структуры*, Наукова думка, Киев, 1980.
2. Л. В. Попова, С. В. Власюк, В. И. Павловский, Т. Л. Карасева, *Фармац. журн.*, **2**, 89 (2002).
3. Т. Л. Карасева, Л. В. Попова, С. В. Власюк, В. И. Павловский, С. А. Андронати, *Фармац. журн.*, **2**, 61 (2003).
4. С. В. Власюк, В. И. Павловский, С. А. Андронати, М. Гданец, Ю. А. Симонов, *XGC*, 1235 (2000). [*Chem. Heterocycl. Comp.*, **36**, 1077 (2000)].
5. С. А. Андронати, Ю. А. Симонов, А. А. Дворкин, Т. Ш. Гифейсман, В. И. Павловский, А. С. Яворский, *Изв. АН Молдовы*, № 3, 16 (1990).
6. P. F. Lindley, G. V. Boyd, G. A. Nicolaou, *Acta Crystallogr.*, **C46**, 1693 (1990).
7. G. Gilli, B. A. Borea, V. Bertolasi, M. Secerdoti, *Molecular Structure and Biological Activity*, J. F. Griffin, W. L. Duax (Eds.), Elsevier Sci. Publ. Co., Inc., 1982, p. 259.
8. T. Ishiwaka, M. Sano, K. Isagawa, Y. Fushizaki, *Bull. Chem. Soc. Jpn.*, **43**, 135 (1970).
9. S. Toyoshima, T. Morishita, T. Nakamura, Jpn. Pat. 7011147; *Chem. Abstr.*, **73**, 25545 (1970).
10. S. Toyoshima, T. Morishita, T. Nakamura, Jpn. Pat. 7011148; *Chem. Abstr.*, **73**, 25544 (1970).
11. Bruker Axs Inc., 6300 Enterprise Lane, Madison, WI 53717-1173, USA.
12. G. M. Sheldrick, *SHELX-97. Program for the Refinement of Crystal Structure*, Univ. of Göttingen, Göttingen, Germany, 1997.

Институт прикладной физики
Республики Молдова, Кишинев 277028
e-mail: simonov.xray@phys.asm.md
^aIMEM-CNR, Parma, Italy
e-mail: bocelli@unipr.it

Поступило 13.01.2005

⁶Химический факультет Университета
им. А. Мицкевича, Познань, Польша
e-mail: mg31@krystal.amu.edu.pl

^bФизико-химический институт
им. А. В. Богатского НАН Украины,
Одесса 270080
e-mail: physchem@paco.net